

НЕКОТОРЫЕ СВОЙСТВА ЦИЛИНДРИЧЕСКОГО ПЛАЗМЕННОГО КОНДЕНСАТОРА

B. A. Погосян, O. C. Торосян

(Москва, Ереван)

В данной работе рассматриваются переходные процессы, происходящие в цилиндрическом плазменном конденсаторе, находящемся в статическом магнитном поле H_0 при внезапном наложении на плазменный слой постоянного электрического поля E_0 , перпендикулярного магнитному. Временные характеристики переходных процессов определяются динамикой поляризации плазмы во внешнем электрическом и магнитном полях [1, 2]. Как и в работах [1, 2], будем рассматривать electrostaticскую поляризацию плазмы, когда протекание стационарного тока через плазму исключено.

1. Рассмотрим два неограниченных вдоль оси z коаксиальных цилиндра с внутренним радиусом r_1 и внешним радиусом R_1 (фигура). В пространстве между цилиндрами расположен цилиндрический слой однородной двухкомпонентной, частично ионизованной плазмы с внутренним и внешним радиусами r_0 и R соответственно. Магнитное поле H_0 направлено вдоль оси z . Вся система симметрична относительно оси цилиндров. Пространство между цилиндрами разобъем на три области: область 1 ($r_1 \leq r \leq r_0$), область 2 ($r_0 \leq r \leq R$) и область 3 ($R \leq r \leq R_1$). В областях 1 и 3 отсутствуют заряды.

В некоторый момент времени $t = 0$ к цилиндрам прикладывается разность потенциалов U_0 так, что внутренний цилиндр обладает потенциалом $\frac{1}{2} U_0$, а внешний — $\frac{1}{2} U_0$. Электрическое поле при $t = 0$ одинаково во всех трех областях и равно $E_0 = -U_0 / R_1 - r_1$ (E_0 — имеет только радиальную составляющую), так как в момент времени $t = 0$ разделение зарядов в плазме еще не происходит, т. е. предполагается, что напряжение на обкладках конденсатора устанавливается гораздо раньше, чем в плазме происходят существенные изменения.

При наличии внешних электромагнитных полей на электроны и ионы будут действовать силы Лоренца, вследствие чего электроны и ионы в плазме двигаются, испытывая при этом соударения с нейтральными атомами газа с частотами v_e и v_p соответственно. Благодаря движению заряженных частиц в плазме произойдет изменение концентрации электронов и ионов $n_e(r, t)$ и $n_p(r, t)$ от общего начального уровня концентрации $N_e = N_p = n_0 = \text{Const}$.

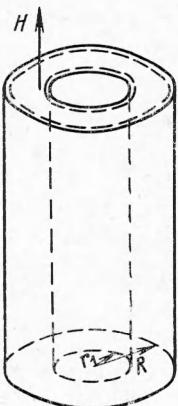
За счет неоднородной концентрации электронов и ионов в плазме возникнут диффузионные потоки, кроме того, так как $n_e(r, t) \neq n_p(r, t)$, то возникнет поле пространственных зарядов, которое, в свою очередь, окажет влияние на движение заряженных частиц (температуру электронов и ионов считаем постоянными и равными T_e и T_p соответственно).

2. Используя выражения для $v_{er}(r, t)$ и $v_{pr}(r, t)$, полученные в работе [2] из уравнений непрерывности, легко найти $n_e(r, t)$ и $n_p(r, t)$ с учетом очевидного начального условия

$$n_e(r, 0) = n_p(r, 0) = 0$$

$$\begin{aligned} n_e(r, t) = & -n_0 \sum_j \lambda_j M_j(r) \left\{ A_e \left(1 - \exp \frac{-v_e t}{2} \cos \delta_e t \right) - \right. \\ & - (B_e + b_e t) \exp \frac{-v_e t}{2} \sin \delta_e t + C_e \left(1 - \exp \frac{-v_p t}{2} \cos \delta_p t \right) - \\ & \left. - E_e \exp \frac{-v_p t}{2} \sin \delta_p t - Gt \exp \frac{-v_e t}{2} \cos \delta_e t + \frac{S_e}{v_e} (1 - \exp -v_e t) \right\} \quad (2.1) \end{aligned}$$

$$\begin{aligned} n_p(r, t) = & n_0 \sum_j \gamma_j L_j(r) \left\{ A_p \left(1 - \exp \frac{-v_p t}{2} \cos \delta_p t \right) - (B_p + b_p t) \exp \frac{-v_p t}{2} \sin \delta_p t - \right. \\ & \left. - G_p t \exp \frac{-v_p t}{2} \cos \delta_p t + \frac{S_p}{v_p} (1 - \exp -v_p t) \right\} \end{aligned}$$



Здесь

$$\begin{aligned} M_j(r) &= \frac{J_0(\lambda_j r)}{J_1(\lambda_j r_0)} - \frac{y_0(\lambda_j r)}{y_1(\lambda_j r_0)}, \quad L_j(r) = \frac{J_0(\gamma_j r)}{J_1(\gamma_j r_0)} - \frac{J_0(\gamma_j r)}{J_1(\gamma_j r_0)} \\ A_{ep} &= \frac{1}{1/4v_{ep}^2 + \delta_{ep}^2} \left\{ P_{ep}\delta_{ep} + Q_{ep} \frac{v_{ep}}{2} + \frac{P_{ep}v_{ep}\delta_{ep} + q_{ep}(v_{ep}^2/4 - \delta_{ep}^2)}{1/4v_{ep}^2 + \delta_{ep}^2} \right\} \\ B_{ep} &= \frac{1}{1/4v_{ep}^2 + \delta_{ep}^2} \left\{ P_{ep} \frac{v_{ep}}{2} - Q_{ep}\delta_{ep} - \frac{q_{ep}v_{ep}\delta_{ep} - p_{ep}(1/4v_{ep}^2 - \delta_{ep}^2)}{1/4v_{ep}^2 + \delta_{ep}^2} \right\} \\ C_e &= \frac{R_e \delta_p}{1/4v_p^2 + \delta_p^2}, \quad E_e = \frac{1/2v_p R_e}{1/4v_p^2 + \delta_p^2}, \quad G_{ep} = \frac{p_{ep}\delta_{ep} + q_{ep}1/2v_{ep}}{1/4v_{ep}^2 + \delta_{ep}^2} \\ B_{ep} &= \frac{1/2v_{ep}p_{ep} - q_{ep}\delta_{ep}}{1/4v_{ep}^2 + \delta_{ep}^2} \end{aligned} \quad (2.2)$$

где I_0 , I_1 и y_0 , y_1 — функции Бесселя и Неймана нулевого и первого порядков соответственно. Параметры λ_j и γ_j определяются из трансцендентных уравнений (18) и (19) работы [2]. Коэффициенты A_e , A_p , B_e , B_p , b_e , b_p , и C_e , C_p получим, если в (2.2) учтем только соответствующий индекс, коэффициенты же P_{ep} , Q_{ep} , p_{ep} , q_{ep} , R_e , S_e , S_p так же, как и параметры δ_e и δ_p , определены в [2]. Коэффициенты, входящие в (2.1) и (2.2), зависят от напряженности магнитного поля H_0 . Причем при больших значениях H_0 коэффициенты ведут себя как $1/H^\mu$, где $\mu \geq 2$.

Полученные выражения для распределения электронного и ионного концентраций по существу характеризуют динамику электростатической поляризации плазмы в магнитном поле при скачкообразном наложении электростатического радиального поля.

При отсутствии магнитного поля выражения для концентрации будут иметь вид

$$\begin{aligned} n_e(r, t)|_{H_0=0} &= -n_0 \sum_j \lambda_j M_j(r) \left\{ \frac{eE_0}{m(1/4v_e^2 + \delta_e^2)} \left(\frac{\omega_p^2 \beta_j}{\delta_p(1/4v_e^2 + \delta_e^2)} - \frac{\alpha_j}{\delta_e} \right) \right. \\ &\quad \left. + \left[\delta_e(1 - \exp -1/2v_e t \cos \delta_e t) - \frac{v_e}{2} \exp -1/2v_e t \sin \delta_e t \right] \right\} \\ &+ \frac{\omega_e^2 e E_0 \beta_j}{M(1/4v_e^2 + \delta_e^2)(1/4v_p^2 + \delta_p^2)} \left[(1 - \exp -1/2v_p t \cos \delta_p t) - \frac{1/2v_p}{\delta_p} \exp -1/2v_p t \sin \delta_p t \right] \end{aligned} \quad (2.3)$$

$$\begin{aligned} n_p(r, t)|_{H_0=0} &= n_0 \sum_j \gamma_j L_j(r) \left\{ \frac{eE_0}{M(1/4v_p^2 + \delta_p^2)} \left(\frac{\omega_c^2 \alpha_j}{1/4v_c^2 + \delta_c^2} - \beta_j \right) \right. \\ &\quad \left. + \left[1 - \exp -1/2v_p t \cos \delta_p t - \frac{1/2v_p}{\delta_p} \exp -1/2v_p t \sin \delta_p t \right] \right\} \end{aligned} \quad (2.4)$$

Здесь ω_{ep} , α_j , β_j определены в работе [2].

Из (2.3) и (2.4) следует, что концентрация электронов колеблется как с электронными, так и с ионными частотами, причем в амплитуду колебаний электронов входят затухающие экспоненциальные функции, в которых фактор затухания определяется частотами столкновений электронов и ионов с пейтранльными атомами, концентрация же ионов колеблется только с ионными частотами, и фактор затухания зависит только от частоты столкновений ионов с пейтранлами.

Наложение магнитного поля не создает направленного движения заряженных частиц, но при наличии электрического поля уменьшает подвижность электронов и ионов и тем самым замедляет процесс расслоения плазмы. Концентрации электронов и ионов при увеличении магнитного поля, как следует из (2.1) и (2.2), уменьшаются, и при $H_0 \rightarrow \infty$ имеем $n_e(r, t) \rightarrow 0$ и $n_p(r, t) \rightarrow 0$ как $1/H^2$.

При $t \rightarrow \infty$ устанавливается поляризованное состояние плазмы с распределениями концентраций

$$n_e(r, \infty) = -n_0 \sum_j \lambda_j M_j(r) \left\{ A_e + C_e + \frac{S_e}{v_e} \right\}, \quad n_p(r, \infty) = n_0 \sum_j \gamma_j L_j(r) \left\{ A_p + \frac{S_p}{v_p} \right\}$$

3. Поскольку в областях 1 и 3 зарядов нет (стенки, ограничивающие плазму, непроницаемы), распределение потенциала в этих областях удовлетворяет уравнению Лапласа

$$\Delta U_1 = 0 \quad (r_1 \leq r \leq r_0), \quad \Delta U_3 = 0 \quad (R \leq r \leq R_1) \quad (3.1)$$

Соответственно распределение потенциала в области 2 удовлетворяет уравнению Пуассона

$$\Delta U_2 = -4\pi\rho \quad (r_0 \leq r \leq R), \quad \rho = e(n_p - n_e) \quad (3.2)$$

Подставляя в (3.2) значения n_e и n_p из (2.1) и (2.2), получим

$$\Delta U_2 = -4\pi e n_0 \sum_j [\gamma_j L_j(r) \psi_p(t) + \lambda_j M_j(r) \psi_e(t)] \quad (3.3)$$

В качестве граничных условий для (3.1), (3.2) и (3.3) примем соотношения

$$U_1(r_1, t) = \frac{1}{2}U_0, \quad U_3(R_1, t) = -\frac{1}{2}U_0, \quad U_1(r_0, t) = U_2(r_0, t), \quad U_3(R, t) = U_2(R, t)$$

$$[\partial U_1 / \partial r]_{r=r_0} = [\partial U_2 / \partial r]_{r=r_0}, \quad [\partial U_3 / \partial r]_{r=R} = [\partial U_2 / \partial r]_{r=R} \quad (3.4)$$

Последнее из равенств (3.4) отражает наблюдаемое экспериментально отсутствие тонких слоев заряда на поверхностях $r = r_0$ и $r = R$, $\psi_e(t)$ и $\psi_p(t)$, входящие в (3.3), равны

$$\begin{aligned} \psi_e(t) &= A_e(1 - \exp -\frac{1}{2}v_e t \cos \delta_e t) - (B_e + b_e t) \exp -\frac{1}{2}v_e t \sin \delta_e t + \\ &+ C_e(1 - \exp -\frac{1}{2}v_p t) \cos \delta_p t - E_e \exp -\frac{1}{2}v_p t \sin \delta_p t - \\ &- G_e t \exp -\frac{1}{2}v_e t \cos \delta_e t \frac{S_e}{v_e} (1 - \exp -v_e t) \end{aligned}$$

$$\begin{aligned} \psi_p(t) &= A_p(1 - \exp -\frac{1}{2}v_p t \cos \delta_p t) - (B_p + b_p t) \exp -\frac{1}{2}v_p t \sin \delta_p t - \\ &- G_p t \exp -\frac{1}{2}v_p t \cos \delta_p t + \frac{S_p}{v_p} (1 - \exp -v_p t) \end{aligned}$$

Уравнения (3.1), (3.2) и (3.3) полностью описывают пространственное и временное распределение потенциала внутри плазменного конденсатора.

Решая уравнения (3.1), (3.2) и (3.3) с учетом граничных условий (3.4), получим

$$\begin{aligned} U_1(r, t) &= \frac{U_0}{2} \frac{\ln(r^2/r_1) R_1}{\ln(r_1/R_1)} - \frac{4\pi e n_0 \ln(r/r_1)}{\ln(r_1/R_1)} \times \\ &\times \left\langle \sum_j \left\{ \frac{i}{\gamma_j} [L_j(r_0) - L_j(R)] \psi_p(t) + \frac{1}{\gamma_j} [M_j(r_0) - M_j(R)] \psi_e(t) \right\} \right\rangle \quad (3.5) \end{aligned}$$

$$\begin{aligned} U_2(r, t) &= \frac{U_0}{2} \frac{\ln(r^2/r_1) R_1}{\ln(r_1/R_1)} + \frac{4\pi e n_0 \ln r_1}{\ln(r_1/R_1)} \left\langle \sum_j \left\{ \frac{1}{\gamma_j} [L_j(r) - L_j(R)] \psi_p(t) + \right. \right. \\ &+ \left. \left. \frac{1}{\gamma_j} [M_j(r) - M_j(R)] \psi_e(t) \right\} \right\rangle - \frac{4\pi e n_0 \ln R_1}{\ln r_1/R_1} \\ &- \left\langle \sum_j \left\{ \frac{1}{\gamma_j} [L_j(r) - L_j(r_0)] \psi_p(t) + \frac{1}{\lambda_j} [M_j(r) - M_j(r_0)] \psi_e(t) \right\} \right\rangle - \\ &- \frac{4\pi e n_0 \ln r}{\ln r_1/R_1} \left\langle \sum_j \left\{ \frac{1}{\gamma_j} [L_j(r_0) - L_j(R)] \psi_p(t) + \frac{1}{\lambda_j} [M_j(r_0) - M_j(r)] \psi_e(t) \right\} \right\rangle \quad (3.6) \end{aligned}$$

$$\begin{aligned} U_3(r, t) &= \frac{U_0}{2} \frac{\ln r^2/r_1 R_1}{\ln r_1/R_1} - \frac{4\pi e n_0 \ln(r/R_1)}{\ln(r_1/R_1)} \left\langle \sum_j \left\{ \frac{1}{\gamma_j} [L_j(r_0) - L_j(R)] \psi_p(t) + \right. \right. \\ &+ \left. \left. \frac{1}{\lambda_j} [M_j(r_0) - M_j(R)] \psi_e(t) \right\} \right\rangle \quad (3.7) \end{aligned}$$

Функции $\Psi_e(t)$ и $\Psi_p(t)$ определяют времена релаксации переходного процесса и являются затухающими во времени.

Если в (3.5), (3.6) и (3.7) положить $t \rightarrow \infty$, то получим выражения для стационарного распределения потенциала, что соответствует затуханию переходных процессов.

Из (3.5), (3.6) и (3.7) видно, что потенциал — непрерывная функция двух переменных r и t . При изменении потенциалов U_1 , U_2 и U_3 по времени в цепи конденсатора появится переходный ток. В силу непрерывности тока в областях 1 и 3, которым соответствуют потенциалы U_1 и U_2 , ток смещения будет равняться конвективному току области 2. Поэтому плотность тока, протекающего через конденсатор, можно определить следующим образом:

$$j = \frac{1}{4\pi} \frac{\partial^2 U_1}{\partial r \partial t} \quad \text{или} \quad j = \frac{1}{4\pi} \frac{\partial^2 U_3}{\partial r \partial t}$$

Следовательно,

$$\begin{aligned} j(r, t) = & -\frac{en_0}{r \ln(r_1/R_1)} \left\langle \sum_j \left\{ \frac{1}{\gamma_j} [L_j(r_0) - L_j(R)] \frac{\partial \Psi_p}{\partial t} + \right. \right. \\ & \left. \left. + \frac{1}{\gamma_j} [M_j(r_0) - M_j(R)] \frac{\partial \Psi_e}{\partial t} \right\} \right\rangle \end{aligned}$$

Переходный ток является затухающим. Поэтому по истечении достаточно большого промежутка времени (намного большего $2/v_p$) ток прекратится, причем заряд, отнесенный на единицу длины цилиндрической поверхности, изменится на величину

$$\begin{aligned} \Delta\sigma = 2\pi r_1 \int_0^\infty j(r_1, t) dt = & -\frac{4\pi en_0}{2 \ln(r_1/R_1)} \left\langle \sum_j \left\{ \frac{1}{\gamma_j} [L_j(r_0) - L_j(R)] (A_p + S_p/v_p) + \right. \right. \\ & \left. \left. + \frac{1}{\gamma_j} [M_j(r_0) - M_j(R)] \Psi_e(t) \right\} \right\rangle \end{aligned} \quad (3.8)$$

Изменение заряда на обкладках цилиндрического конденсатора, вызванное введением в него плазмы, влечет за собой изменение емкости такого конденсатора при условии, что разность потенциалов поддерживается неизмененной. Это изменение, отнесенное к единице длины конденсатора, можно найти из (3.8)

$$\begin{aligned} \Delta C = & \frac{4\pi en_0}{2U_0 \ln(r_1/R_1)} \sum_j \left\{ \frac{1}{\gamma_j} [L_j(r_0) - L_j(R)] \left(A_p + \frac{S_p}{v_p} \right) + \right. \\ & \left. + \frac{1}{\gamma_j} [M_j(r_0) - M_j(R)] \left(A_e + C_e \frac{S_e}{v_e} \right) \right\} \end{aligned} \quad (3.9)$$

Формула (3.9) дает возможность по измеренным значениям ΔC определить ток и, следовательно, — концентрации электронов и ионов.

Заметим, что при $H_0 \rightarrow \infty$ изменение емкости ΔC так же, как и $n_e(r, t)$, $n_p(r, t)$ и $j(r, t)$, стремится к нулю. Это означает, что при очень сильных магнитных полях ($|H/E| \gg 1$) никакого разделения зарядов и, следовательно, поляризации плазмы не происходит, т. е. первоначальное однородное распределение плазмы остается неизменным.

В заключение авторы благодарят С. А. Регирера за полезные замечания.

Поступила 31 I 1967

ЛИТЕРАТУРА

1. Голованинский К. С., Погосян В. А. Некоторые свойства плазменного конденсатора. Ж. техн. физ., 1966, № 2, стр. 297.
2. Голованинский К. С., Погосян В. А., Торосян О. С. Поляризация цилиндрического слоя плазмы во внешнем статическом магнитном поле. Магнитная гидродинамика, 1967, № 1.